

روش نمونه‌گیری برشی به عنوان یکی از روش‌های *MCMC*

اعظم ارشدی پور^۱

چکیده

در علوم کاربردی و مهندسی نمونه‌گیری از یکتابع توزیع از اهمیت بالایی برخوردار است. برای این منظور تاکنون روش‌های شبیه‌سازی آماری مختلفی معرفی شده است که هر کدام دارای ویژگی‌هایی هستند. یکی از این روش‌ها، روش نمونه‌گیری برشی است که بر پایه‌ی استفاده از متغیرهای کمکی است. در این مقاله ابتدا به بیان نمونه‌گیری برشی پرداخته می‌شود و سپس نوع پیشرفته‌تر آن در حالت تک متغیره و چندمتغیره معرفی و به همراه مثال‌هایی بررسی و تشریح می‌گردد.

واژه‌های کلیدی: زنجیر مارکف مونت کارلویی، الگوریتم متروپولیس هستینگس، نمونه‌گیر گیبس، متغیرکمکی.
رده‌بندی موضوعی (MSC2000): 62G07, 62G05, 62M15

بسیاری علوم دیگر راه‌گشا هستند. الگوریتم‌های متفاوتی

در روش‌های (*MCMC*) وجود دارد که متدائل‌ترین آن‌ها متروپولیس–هستینگس^۲ و نمونه‌گیر گیبس^۳ هستند. اگرچه این الگوریتم‌ها در مواردی با محدودیت‌هایی روبرو هستند. در الگوریتم متروپولیس–هستینگس انتخاب بهینه‌ی توزیع پیشنهادی و پارامترهای مورد نیاز آن مورد بحث است. در نمونه‌گیر گیبس نیز ممکن است نمونه‌گیری از توزیع‌های شرطی کامل کارساده‌ای نباشد، به عبارت دیگر ممکن است توزیع‌های شرطی کامل شکل متدائل و شناخته شده‌ای نداشته باشند. برای پرهیز از چنین مواردی روش‌های دیگری بیان شده است. یکی از این روش‌ها، روش نمونه‌گیری برشی^۴ است که به اختصار آن را SS می‌نامیم و بر پایه‌ی استفاده از متغیرهای کمکی می‌باشد. پیشینه‌ی نمونه‌گیری برشی به دهه‌ی ۱۹۹۰ و به مقالات ویک فیلد و همکاران [۱۷]، بسیج و گرین [۱]، دامی‌بن و واکر [۴]، هیگدان [۹]، تایرنی و میرا [۱۶] و دامی‌بن

۱ مقدمه

روش‌های مختلف زنجیر مارکف مونت کارلویی که به اختصار آن را *MCMC* می‌نامیم، امروزه به عنوان ابزاری اساسی در قلمرو علم آمار و به ویژه در مباحث بیزی به کار می‌رود. ایده اصلی این روش‌ها بسیار ساده است. اگر علاقه‌مند به تولید نمونه از توزیع f باشیم، وقتی که f تابعی n بعدی است و در عمل نتوانیم به طور مستقیم از آن نمونه‌گیری کنیم، ولی در عین حال قادر به تولید زنجیر مارکفی با فضای حالتی باشیم که دارای توزیع مانای f باشد، در این صورت اگر این زنجیر برای مدت طولانی ادامه یابد، مقادیر شبیه‌سازی شده این زنجیر می‌تواند برای خصوصیات تابع f مورد استفاده قرار گیرد. روش‌های *MCMC* در واقع به دنبال الگوریتم‌هایی است که چنین زنجیر مارکفی با توزیع مانای f را تولید کند. این روش‌ها در علوم مختلفی مانند فیزیک، بهینه‌سازی، الکترونیک، هوانوردی، بیولوژی، شبکه، بازسازی تصاویر و

^۱ دانشکده علوم ریاضی، دانشگاه صنعتی اصفهان، a.arshadipoor@math.iut.ac.ir

^۲ Metropolis-Hastings

^۳ Gibbs Sampling

^۴ Slice Sampling

۲ روش نمونه‌گیری برشی

فرض کنید بخواهیم از تابعی که متناسب با $f(x)$ است، نمونه‌گیری نماییم. ایده‌ی کلی این روش، معرفی یک متغیر کمکی تعریف شده با بردار تصادفی $U = (U_1, U_2, \dots, U_k)$ و ساختن توزیع توام (X, U) است که چگالی حاشیه‌ای آن $f(x)$ است. با استفاده از توزیع توام معرفی شده روش گیبس را برای نمونه‌گیری از توزیع‌های شرطی کامل به کار می‌بریم. در این روش غالباً می‌توان متغیر کمکی را طوری معرفی نمود که توزیع‌های شرطی کامل قابل نمونه‌گیری باشند.

قضیه ۱ فرض کنید علاقه‌مند به تولید نمونه از چگالی استاندارد است و π_i ها توابعی نه لزوماً چگالی، نامنفی و معکوس‌پذیرند (یعنی اگر $u > l_i(x) > u'$ باشیم که π_i یک تابع چگالی باشد) استاندارد است و π_i ها توابعی نه لزوماً چگالی، نامنفی و قابل تعریف باشد)، در این صورت برای تولید نمونه از چگالی (x, f) ، می‌توان از یک الگوریتم گیبس استفاده نمود که همه‌ی چگالی‌های شرطی کامل آن به جزیکی دارای توزیع یکنواخت هستند و آن یکی π ، با تکیه‌گاه محدود شده است [۳].

برهان بردار متغیر کمکی $U = (U_1, U_2, \dots, U_k)$ را طوری تعریف می‌نماییم که به‌ازای هر i ، $(i = 1, 2, \dots, k)$ ، هر $l_i(x)$ ، هر u به شرط x دارای توزیع یکنواخت بر بازه‌ی $(l_i(x), u)$ است. هم‌چنین به شرط x ، U_i ها مستقل هستند. در این صورت چگالی توام (X, U) عبارت است از

$$\begin{aligned} f(x, u_1, \dots, u_k) &= f(u_1, \dots, u_k | x) f(x) \\ &= \frac{\prod_{i=1}^k I_{\{u_i < l_i(x)\}}}{\prod_{i=1}^k l_i(x)} K \pi(x) \prod_{i=1}^k l_i(x) \\ &= K \pi(x) \prod_{i=1}^k I_{\{u_i < l_i(x)\}} \end{aligned}$$

و همکاران [۳] بر می‌گردند. ارجحیت روش نمونه‌گیری برشی نسبت به روش‌های قبلی این است که بدون نیاز به استفاده از توزیع پیشنهادی و با اجتناب از نمونه‌گیری از توزیع‌های غیراستاندارد برای هر توزیعی قابل کاربرد است. به علاوه در بسیاری از روش‌های $(MCMC)$ برای این که نمونه ایجاد شده معرف نمونه‌ای از تابع چگالی هدف باشد، سعی می‌شود تا حرکات زنجیر مارکف در گام‌های کوچک انجام شود و این گام‌های کوچک موجب افزایش تعداد گام‌ها برای حرکت زنجیر مارکف روی کل فضای تکیه‌گاه توزیع می‌شود و بنابراین همگرایی زنجیر به تابع چگالی هدف به کندی صورت می‌گیرد. در حالی که در روش نمونه‌گیری برشی تغییرات حرکتی زنجیر بدون استفاده از گام‌های کوچک، به طور تصادفی روی کل فضای تکیه‌گاه توزیع صورت می‌گیرد و از بروز مشکلاتی که به دلیل استفاده از گام‌های کوچک هستند جلوگیری می‌نماید. روش نمونه‌گیری برشی معرفی شده اگرچه ساده و قابل کاربرد است اما زمانی که تعداد متغیرهای کمکی زیاد باشند به کندی همگرا می‌شود. نیل [۱۰] و [۱۱] روشی جدید بر پایه‌ی استفاده از یک متغیر کمکی ارایه نمود که برای اکثر توزیع‌ها قابل کاربرد می‌باشد. این مقاله به صورت زیر تدوین شده است. در بخش دوم بر پایه مرجع [۳]، نمونه‌گیری برشی را به همراه یک مثال معرفی و مورد بررسی قرار می‌دهیم. شرایط همگرایی نمونه‌گیری برشی را نیز در این بخش به اختصار بیان می‌نماییم. در بخش سوم و چهارم بر پایه مرجع [۱۰]، روش نمونه‌گیری برشی نیل را که از محدودیت‌های کمتری نسبت به سایر روش‌های $MCMC$ برخوردار است، در دو حالت تک‌متغیره و چندمتغیره به همراه الگوریتم‌های مربوطه ارایه و مورد بررسی قرار می‌دهیم. در بخش ششم نیز یک مثال کاربردی به روش نمونه‌گیری برشی نیل انجام می‌دهیم و با روش مورد استفاده در مقالات قبلی مقایسه می‌نماییم.

بنابراین الگوریتم SS به صورت زیر خواهد بود
الگوریتم SS

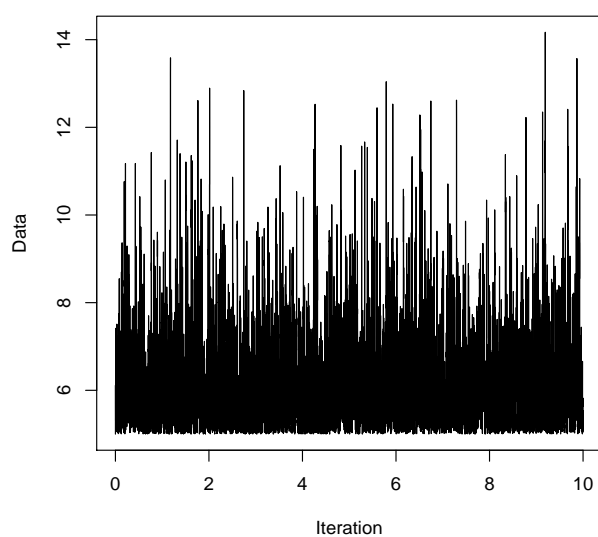
با یک مقدار اولیه $x^{(0)}$ شروع می‌کنیم و به ازای $t = 1, 2, \dots$ داریم

۱. U_1 را از توزیع یکنواخت بر $(x^{(t-1)}, (x^{(t-1)})^{\alpha-1}, 0)$ انتخاب می‌نماییم.

۲. U_2 را از توزیع یکنواخت بر $(e^{-x^{(t-1)}}, 0, e^{-x^{(t-1)}})$ انتخاب می‌نماییم.

۳. $x^{(t)}$ را از توزیع یکنواخت بر $(\max(u_1^{\frac{1}{\alpha-1}}, a), -\ln u_2)$ انتخاب می‌نماییم.

شکل ۱ نمودار 10000 داده‌ی شبیه‌سازی شده با استفاده از الگوریتم فوق را به ازای $\alpha = 2, a = 5$ و نقطه‌ی شروع $x^{(0)}$ نشان می‌دهد. این نمودار را سری زمانی داده‌های شبیه‌سازی می‌نامند که مشابه سری زمانی نوشه سفید است، بنابراین رنجبر به طور مناسبی تمام فضای تکیه‌گاه تابع چگالی هدف را می‌پیماید و اصطلاحاً گفته می‌شود که رنجبر آمیخته‌ی مناسب است.



شکل ۱. داده‌های شبیه‌سازی شده با روش SS .

که در آن K ضریب ثابت است. در مرحله‌ی بعد می‌توان از یک الگوریتم گیبس به صورت زیر استفاده نمود. در این الگوریتم چگالی‌های شرطی کامل به ازای هر i, U_i ، دارای توزیع یکنواخت بر بازه‌ی $((0, l_i(x)^{(t-1)}))$ هستند و چگالی شرطی کامل برای X نیز π است که تکیه‌گاه آن به مجموعه‌ی $A_u = \{x; l_i(x) > u_i, i = 1, \dots, k\}$ محدود شده است. بر اساس قضیه‌ی بالا، الگوریتم نمونه‌گیری برتری به صورت زیر است.

الگوریتم SS

با یک مقدار اولیه $x^{(0)}$ شروع می‌کنیم و به ازای $i = 1, 2, \dots, k$ و $t = 1, 2, \dots$ U_i را از توزیع یکنواخت بر $((0, l_i(x^{(t-1)}))$ انتخاب می‌نماییم و سپس $x^{(t)}$ را از توزیع $\pi(x)$ که تکیه‌گاه آن به مجموعه‌ی $A_u = \{x; l_i(x) > u_i, i = 1, \dots, k\}$ محدود شده است، انتخاب می‌نماییم.

مثال ۱ (توزیع گاما بریده شده^۵). فرض کنید بخواهیم از تابع چگالی f به صورت زیر نمونه‌گیری کنیم

$$f(x) \propto x^{\alpha-1} e^{-x}, \quad x > a, \alpha > 1, a > 0.$$

یک روش معمول برای نمونه‌گیری، تولید نمونه از توزیع گاما به روش‌های معمول و پذیرش نقطه‌ی است که از a بزرگتر هستند، اما این روش زمانی که a بزرگ باشد کارایی مناسبی ندارد و ممکن است نقاط زیادی رد شوند. برای استفاده از نمونه‌گیری برتری قرار می‌دهیم $f(x) \propto l_1(x)l_2(x)$ به طوری که $l_2(x) = e^{-x}$ و $l_1(x) = x^{\alpha-1}$ نیز توزیع یکنواخت بر بازه‌ی $(0, \infty)$ است. بنابراین داریم

$$\begin{aligned} A_u &= \{x; u_1 \leq x^{\alpha-1}, u_2 \leq e^{-x}, x > a\} \\ &= \{x; x \geq u_1^{\frac{1}{\alpha-1}}, x \leq -\ln u_2, x > a\} \\ &= \{x; \max(u_1^{\frac{1}{\alpha-1}}, a) \leq x \leq -\ln u_2\}. \end{aligned}$$

Truncated Gamma^۵

استفاده از یک متغیر کمکی ارایه نمود که در ادامه به بیان آن می‌پردازیم.

۳ روش نمونه‌گیری برشی نیل در حالت تک متغیره

در این روش برای نمونه‌گیری از تابع چگالی تک متغیره‌ی $p(x)$ که با $f(x)$ متناسب است، از ناحیه‌ی زیر نمودار $f(x)$ به‌طور یکنواخت نمونه‌گیری می‌شود. برای این منظور با استفاده از یک متغیر تصادفی کمکی Y ، تابع چگالی توان (X, Y) به صورت زیر تعریف می‌شود

$$p(x, y) = \begin{cases} \frac{1}{z} & 0 < y < f(x) \\ 0 & \text{در غیر این صورت} \end{cases}$$

به‌طوری که $z = \int f(x) dx$ در این صورت تابع چگالی حاشیه‌ای X به صورت

$$p(x) = \int_0^{f(x)} \frac{1}{z} dy = \frac{f(x)}{z}$$

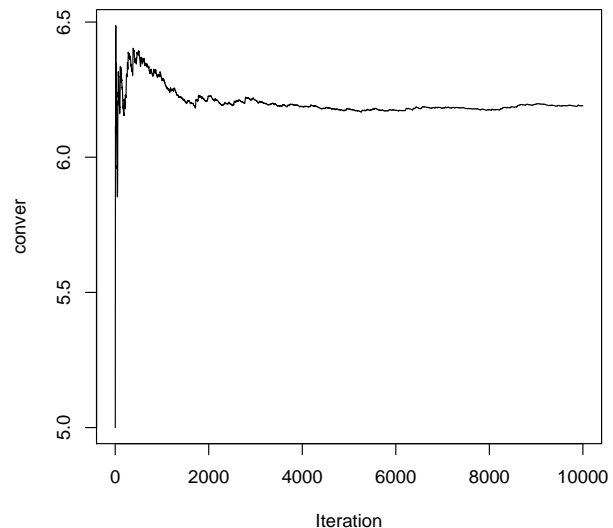
به‌دست می‌آید. اکنون با استفاده از تابع چگالی توان ایجاد شده اعضای نمونه را به روش گیبس تولید می‌نماییم. به‌طور تناوبی از توزیع شرطی Y به شرط $x = x$ که دارای توزیع یکنواخت بر $((x, f(x)), 0)$ است، نمونه‌گیری می‌نماییم

$$p(y|x) = \frac{p(x, y)}{p(x)} = \frac{\frac{1}{z}}{\frac{f(x)}{z}} = \frac{1}{f(x)}$$

و سپس از توزیع شرطی X به شرط $y = y$ که دارای توزیع یکنواخت بر ناحیه‌ی $\{x; y < f(x)\}$ است نمونه‌گیری می‌نماییم

$$\begin{aligned} p(x|y) &= \frac{p(x, y)}{p(y)} = \frac{p(y|x)p(x)}{p(y)} \\ &= \frac{\frac{1}{z}}{\frac{f(x)}{z}} = \frac{1}{\int_{\{x; y < f(x)\}} dx}. \end{aligned}$$

شکل ۲ نمودار همگرایی میانگین زنجیر تولید شده را در روش SS به ازای $n = 10000$ تکرار نشان می‌دهد. با توجه به این نمودار میانگین زنجیر، پس از گذشت تعدادی از تکرارها به مقدار ثابتی همگرا شده است و بنابراین می‌توان از نمونه تولید شده برای استنباط در مورد تابع چگالی هدف استفاده نمود.



شکل ۲. نمودارهای همگرایی میانگین زنجیر با روش SS .

رابرتس و روزنتال [۱۴]، نشان داده‌اند که این روش دارای خواص نظری خوبی است و اگر تکیه‌گاه تابع چگالی f محدود باشد، بنابراین همگرایی توزیع حدی زنجیر ایجاد شده به توزیع هدف تضمین می‌شود و اصطلاحاً گفته می‌شود که زنجیر ارگودیک هندسی [۱۲] است. تیرنی و میرا [۱۶]، نیز ثابت کردند که اگر $k = 1$ ، آن‌گاه توزیع حدی زنجیر با سرعت بیشتری به توزیع هدف همگرا می‌شود و اصطلاحاً گفته می‌شود که زنجیر دارای خاصیت ارگودیکی یکنواخت است. در عمل برای استفاده از این روش ممکن است با مشکلاتی رویرو شویم، مثلاً زمانی که k زیاد باشد، مجموعه‌ی A_u ، ممکن است پیچیده شود و یا همگرایی سرعت کندی داشته باشد. برای دوری از چنین مشکلاتی نیل [۱۱] روش جدیدی بر پایه‌ی

نحوه‌ی اجرای گام (۲)

بعد از انتخاب متغیر کمکی u و تعریف برش، گام بعدی یافتن بازه‌ی $I = (L, R)$ شامل نقطه‌ی x است. این بازه باید به گونه‌ای انتخاب شود که تا حد ممکن برش را شامل شود و نقطه‌ی جدید در گام بعدی نیز با نقطه‌ی قبلی متفاوت باشد. هم‌چنان بهتر است تا از فواصلی که از برش خیلی بزرگ‌تراند اجتناب شود، زیرا در غیر این صورت ممکن است روش کارایی مناسبی نداشته باشد. روش‌های مختلف انتخاب فاصله عبارت‌اند از

۱) I را کوچکترین فاصله‌ای قرار می‌دهیم که همه‌ی برش را شامل شود یعنی قرار دهیم

$$L = \inf(S), \quad R = \sup(S).$$

این روش همیشه قابل کاربرد نیست زیرا ممکن است نتوانیم همه‌ی جواب‌های معادله‌ی $f(x) = u$ را به روش‌های تحلیلی و عددی بیابیم. در اکثر موارد فواصل از هم جدای زیادی S را تشکیل می‌دهند و این مساله تعیین فاصله به این روش را دشوار می‌سازد [۱۱].

۲) زمانی که تکیه‌گاه متغیر X کراندار است می‌توان I را برابر تکیه‌گاه قرار داد. این روش اگرچه ساده اما زمانی که برش از حدود تکیه‌گاه خیلی کوچکتر است مناسب نمی‌باشد و ممکن است نمونه‌گیری کارایی مناسبی نداشته باشد. این طرح توسط فری [۵] معرفی شده است.

۳) روش گسترش گام 6 . این روش را برای هر تابع چگالی پیوسته‌ای می‌توان به کار برد و محدودیت‌های دو روش قبلی را ندارد. در این روش ابتدا یک فاصله‌ی ابتدایی به اندازه‌ی w که شامل x_0 است را به عنوان مقیاسی برای پیمودن برش در نظر می‌گیریم و سپس این فاصله‌ی ابتدایی را در گام‌هایی به طول w می‌گستریم تا زمانی که هر دو انتهایش از برش خارج شود و یا به ازای عدد صحیح m ، اندازه‌ی از قبل تعیین شده‌ای مانند

مجموعه‌ی S را برش ایجاد شده توسط u می‌نامیم. نمونه‌گیری به طور یکنواخت از S نیز ممکن است ساده نباشد که روش از این شده توسط نیل به حل این مساله کمک می‌نماید. بر اساس روش وی در حالت تک متغیره مقدار اولیه x_0 طی سه گام زیر به مقدار x_1 تبدیل می‌شود.

(۱) مقدار حقیقی y و به طور یکنواخت از بازه‌ی $((x_0, f(x_0))$ انتخاب می‌شود که به موجب این انتخاب برش افقی S ایجاد می‌شود. با این انتخاب x_0 همیشه داخل S است.

(۲) یک بازه‌ی $I = (L, R)$ اطراف x_0 پیدا می‌شود که همه‌ی یا قسمت زیادی از برش را شامل می‌شود.

(۳) نقطه‌ی جدید x_1 از قسمتی از برش که داخل فاصله است انتخاب می‌شود.

نحوه‌ی اجرای هر یک از این سه گام را در ادامه شرح می‌دهیم.

نحوه‌ی اجرای گام (۱)

این گام جهت انتخاب نقطه‌ی u به عنوان متغیر کمکی است که در تکرارهای مختلف زنجیر می‌تواند تغییر یابد. در عمل ممکن است در طول الگوریتم مقادیر $f(x)$ آن قدر کوچک باشند که از نظر محاسباتی جهت انتخاب y مشکل ایجاد کنند که در این صورت مناسب‌تر است تا از تبدیل $y = \ln f(x)$ به جای $f(x)$ استفاده شود. در این صورت می‌نویسیم $u = f(x_0)$ که y دارای توزیع یکنواخت بر $(0, 1)$ است. پس

$$\ln y = \ln f(x_0) + \ln(u) = g(x_0) - (-\ln u)$$

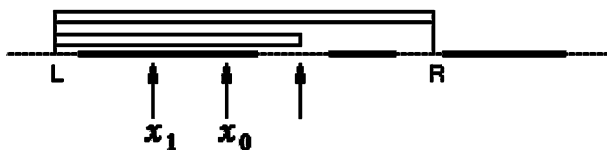
یا $-e = e - z = g(x_0) - \ln y$ که $z = \ln y$ و e از یک توزیع نمایی با میانگین ۱ تولید می‌شود. در این صورت برش به صورت زیر تبدیل می‌شود

$$S = \{x; z < g(x)\} = \{x; g(x_0) - e < g(x)\}.$$

ابتدايی شامل x_0 را باید به طور تصادفی جايگذاري نمایيم. اختصاص m به گامهای به طرف چپ يا راست و انتخاب جهت نيز باید به طور تصادفی صورت گيرد. اين تصادفی بودن تضمیني برای درستی و دقت روش است و باعث می شود تا اطمینان يابيم که نقطه‌ی جديد به طور تصادفی انتخاب شده است.

نحوه‌ی اجرای گام (۳)

بعد از انتخاب فاصله‌ی مناسب I در گام قبل، برای انتخاب نقطه‌ی جديد x_1 از روشی به نام انقباض (Shrinkage Method) استفاده می‌کنيم. در اين روش نقطه‌ی جديدي از فاصله‌ی I به طوري کنواخت انتخاب می‌کنيم. اگر اين نقطه در برش باشد آنرا می‌پذيريم و در غير اين صورت آن نقطه را نقطه‌ی رد می‌نامييم و از آن برای منقبض کردن فاصله‌ی I استفاده می‌کنيم. فاصله به گونه‌ای منقبض می شود که پس از انقباض هنوز نقطه‌ی فعلی را شامل شود. اين روند ادامه می‌يابد تا زمانی که نقطه‌ی انتخابی از فاصله، داخل برش قرار گيرد. در اين روش، چون در هر مرحله فاصله‌ی مورد نظر حداقل نقطه‌ی فعلی را در برابر دارد، می‌توان نسبت به خاتمه‌پذير بودن روش اطمینان داشت.



شکل ۴. انتخاب نقطه‌ی جديد x_1 به روش انقباض.

الگوريتم روش انقباض به صورت زير است
الگوريتم

با يك مقدار اوليه‌ی x_0 ، y و $I = (L, R)$ شروع می‌کنيم.

۱. قرار می‌دهيم $\bar{R} = R$ و $\bar{L} = L$.

۲. عدد تصادفی U را از توزيع يکنواخت بر بازه‌ی $(0, 1)$

mw برای فاصله‌ی I به دست آيد.

الگوريتم روش گسترش گام به صورت زير است

الگوريتم گسترش گام

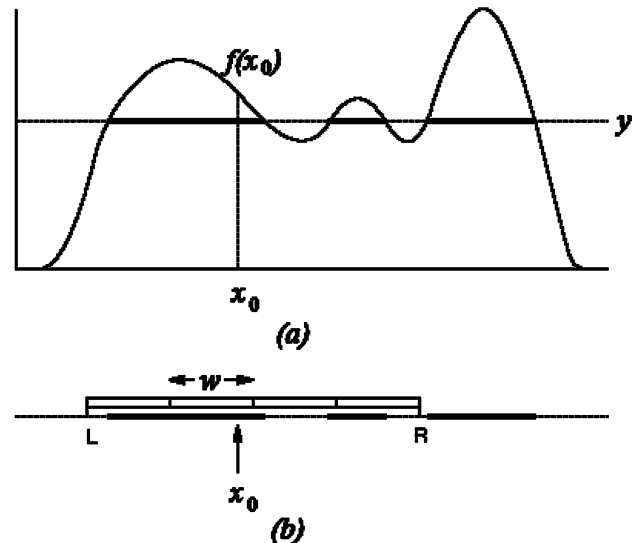
با مقادير اوليه‌ی x_0 ، w و y شروع می‌کيم.

۱. اعداد تصادفی U و V را به طور مستقل از توزيع يکنواخت بر بازه‌ی $(0, 1)$ را انتخاب می‌نمایيم.

۲. قرار می‌دهيم $j = [mw]$ و $R = L + w$ و $L = x_0 - wU$ و $k = (m - 1) - j$.

۳. تا زمانی که $j < f(L)$ و $f(R) < k$ قرار می‌دهيم $j = j + 1$ و $L = L - w$.

۴. تا زمانی که $k < f(R)$ و $f(L) < y$ قرار می‌دهيم $k = k + 1$ و $R = R + w$.



شکل ۳. يافتن فاصله‌ی $I = (L, R)$ به روش گسترش گام.

مراحل (۳) و (۴) در الگوريتم تا برقراری شرایط انجام می‌شوند و خروجی الگوريتم در نهايیت فاصله‌ی $I = (L, R)$ است. اندازه‌ی نهايی فاصله را می‌توانيم به صورت mw درنظر گيريم که m عددی صحيح و از پيش تعبيين شده است. در بسياري از موارد m را بينهاييت در نظر می‌گيريم که در اين صورت فاصله هر اندازه‌ای می‌تواند داشته باشد. فاصله‌ی

مشابه سری زمانی نوفه سفید است و بنابراین زنجیر ایجاد شده آمیخته‌ی مناسب است و زنجیر به طور مناسبی تکیه‌گاه توزیع نرمال استاندارد را می‌پیماید. نمودار سمت راست از بالا نیز نمودار خودهمبستگی داده‌های است که روندی مشابه نمودار خودهمبستگی در مدل (۱) $AR(1)$ دارد و بنابراین همبستگی داده‌ها مناسب به نظر می‌آید. نمودارهای هیستوگرام و احتمال نرمال داده‌ها نیز بیان گر نزدیک بودن زیاد توزیع داده‌ها به مدل نرمال استاندارد است. برای آزمودن فرض این که آیا نمونه‌ی ایجاد شده دارای توزیع نرمال استاندارد است یا نه، از آزمون کلموگروف-اسمیرنوف [۲] استفاده شده است. p -مقدار این آزمون برابر $۰/۳۸۶۴$ به دست آمده است و بنابراین فرض صفر که بیان‌گر نرمال استاندارد بودن داده‌های است حتی در سطح $۰/۰$ هم رد نمی‌شود.

مقایسه روش برتری نیل با برخی روش‌های متداول دیگر الگوریتم باکس-مولر و روش فشردگی [۱۲] نیز از روش‌های متداولی هستند که برای تولید نمونه از توزیع نرمال استاندارد مورد استفاده قرار می‌گیرند. فرض کنید در توزیع نرمال استاندارد محور افقی بیان گر مقادیر x و محور عمودی بیان گر مقدار مساحت زیر منحنی یا $P(X \leq x)$ باشد، در این صورت برای بررسی روش نمونه‌گیری برتری با سایر روش‌ها، این مقادیر را برای نمونه‌های تولید شده توسط این روش‌ها به همراه مقادیر واقعی در توزیع نرمال استاندارد در جدول ۱ محاسبه مقادیر واقعی در توزیع نرمال استاندارد در جدول ۱ محاسبه نموده‌ایم.

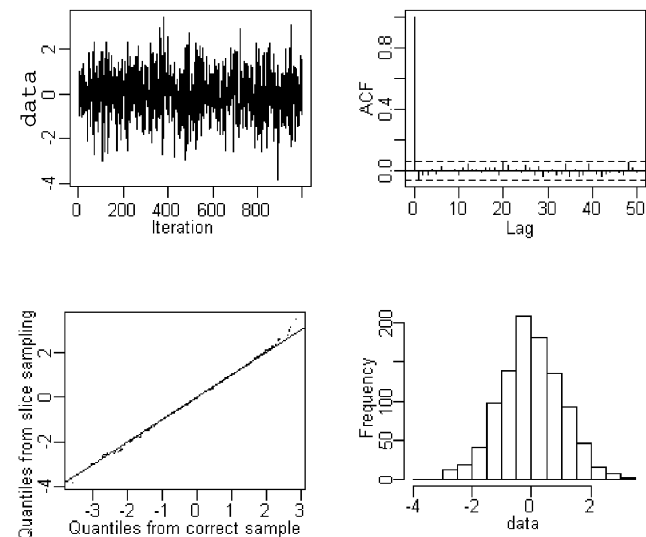
جدول ۱، مقادیر x به ازای برخی از مساحت‌های زیر منحنی نرمال استاندارد.						
مساحت زیر منحنی	۰/۵۰۰۰	۰/۷۵۰۰	۰/۸۰۰۰	۰/۹۵۰۰	۰/۹۹۹۰	۰/۹۹۹۹
مقادیر واقعی	۰/۰۰۰۰	۰/۶۷۰۰	۰/۸۴۰۰	۱/۶۵۰۰	۳/۰۹۰۰	۳/۷۲۰۰
باکس-مولر	۰/۰۶۵۸	۰/۷۶۸۸	۰/۹۲۹۷	۱/۷۱۲۷	۲/۸۴۶۴	۲/۸۹۵۱
فشردگی	۰/۰۵۴۶	۰/۶۸۹۴۰	۰/۸۵۱۲	۱/۶۶۸۹	۲/۸۸۴۵	۳/۱۷۳۸
برتری	۰/۰۳۲۵	۰/۶۹۴۳	۰/۸۶۴۲	۱/۶۰۲۹	۲/۶۰۵۲	۲/۸۷۱۴
برتری نیل	-۰/۰۴۶۳	۰/۶۶۴۴	۰/۸۷۶۱	۱/۷۱۶۸	۳/۰۷۹۱	۳/۴۲۳۸

انتخاب می‌نماییم.

۳. قرار می‌دهیم $x_1 = \bar{L} + U(\bar{R} - \bar{L})$

۴. اگر $f(x_1 < y)$ ، x_1 پذیرفته می‌شود و در غیر این صورت اگر $x_1 < y$ قرار می‌دهیم $\bar{L} = x_1$ و اگر $x_1 \geq y$ قرار می‌دهیم $\bar{R} = x_1$ و به مرحله‌ی (۲) برمی‌گردیم.

مثال ۲ در این مثال با استفاده از روش گسترش گام و روش انقباض، نمونه‌ای به حجم $n = 1000$ از توزیع نرمال استاندارد تولید شده است. شکل ۵ نمودارهای سری زمانی، خودهمبستگی، احتمال نرمال و هیستوگرام داده‌های شبیه‌سازی شده را نشان می‌دهد.



شکل ۵. نمودارهای سری زمانی، خودهمبستگی، احتمال نرمال و هیستوگرام داده‌های شبیه‌سازی شده.

نمودار سمت چپ از بالا، نمودار سری زمانی داده‌ها است که

افقی $\{x; y < f(x)\} = S$ ایجاد می‌شود.

گام ۲) ابرمستطیل را اطراف \tilde{x} طوری جایگذاری می‌نماییم که بخش زیادی از برش را دربر گیرد.

گام ۳) نقطه‌ی جدید \tilde{x} را از قسمتی از برش که داخل ابرمستطیل است یعنی از $H \cap S$ ، انتخاب می‌کنیم.

در گام (۲) ابرمستطیل را می‌توان کوچکترین ابرمستطیل در بردارنده‌ی برش فرار داد اما این روش ممکن است امکان‌پذیر نباشد. زمانی که همه‌ی مولفه‌های \tilde{x} کراندار باشند نیز می‌توان ابرمستطیل را براسرتکیه‌گاه توزیع قرار داد. این روش نیز زمانی که برش از حدود تکیه‌گاه خیلی کوچکتر است کارا نمی‌باشد. در روش گسترش گام نیز باید یک ابرمستطیل n بعدی با 2^n رأس بیاییم که تمام رئوس آن از برش خارج باشند. این روش نیز زمانی که n بزرگ باشد مقرن به صرفه نیست زیرا فاصله‌های ابتدایی w باید در هر n بعد گسترش یابند که مستلزم وقت زیادی است. بنابراین ساده‌ترین روش یافتن ابرمستطیل، قراردادن تصادفی یک ابرمستطیل اطراف \tilde{x} است.

گام (۳) نیز به صورت تعمیمی از روش انقباض در حالت تک متغیره انجام می‌شود. بدین صورت که بعد از جایگذاری ابرمستطیل در گام قبلی، نقطه‌ی جدید را به طور تصادفی از ابرمستطیل انتخاب می‌نماییم و اگر این نقطه داخل برش باشد آن را می‌پذیریم و اگر خارج از برش باشد آن‌گاه ابرمستطیل را با شروع از این نقطه در تمام جهت‌ها منقبض می‌نماییم و دوباره نقطه‌ی جدیدی انتخاب می‌نماییم و این روند را ادامه می‌دهیم تا زمانی که نقطه‌ی انتخابی داخل برش قرار گیرد. شکل ۶ یک نمونه‌گیری برشی دو متغیره را نمایش می‌دهد. قسمت پرنگ‌تر تصویر، خطوط انتهایی برش هستند که نقطه‌ی حال \tilde{x} را شامل است، مربع بزرگ‌تر نیز ابرمستطیل ابتدایی است.

از جدول بالا مشاهده می‌شود که اختلاف مقادیر محاسبه شده در روش‌های مختلف با مقادیر واقعی، در روش نمونه‌گیری برشی نیل نسبت به سایر روش‌ها کمتر می‌باشد و بنابراین روش نمونه‌گیری برشی نیل برای تولید نمونه از توزیع نرمال استاندارد به خوبی عمل نموده است.

۴ روش نمونه‌گیری برشی نیل در حالت چند متغیره

روش نمونه‌گیری برشی تک متغیره را می‌توانیم برای حالتی که علاقه‌مندیم تا از یک بردار n بعدی نمونه بگیریم به کار بریم، در این حالت روش نمونه‌گیری را برای هر مولفه‌ی بردار به طور جداگانه به کار می‌بریم. در این بخش ایده‌ی نمونه‌گیری برشی تک متغیره، به حالت چند متغیره تعمیم داده می‌شود و الگوریتم‌های آن ارایه می‌گردد.

فرض کنید $f(\tilde{x}) = (X_1, X_2, \dots, X_n)$ و $\tilde{X} = (X_1, X_2, \dots, X_n)$ تابعی مناسب با تابع چگالی \tilde{X} باشد. ایده‌ی نمونه‌گیری برشی تک متغیره را می‌توان به حالت چند متغیره تعمیم داد. در این روش به جای یک فاصله‌ی $(L, R) = I$ ، یک ابرمستطیل به صورت

$$\begin{aligned} H &= \{\tilde{x}; L_i < x_i < R_i, i = 1, \dots, n\} \\ &= (L_1, R_1) \times (L_2, R_2) \times \dots \times (L_n, R_n) \end{aligned}$$

اطراف نقطه‌ی ابتدایی $\{x_{01}, x_{02}, \dots, x_{0n}\} = \tilde{x}$ جایگذاری می‌نماییم و سپس نقطه‌ی جدید $\{x_{11}, x_{12}, \dots, x_{1n}\} = \tilde{x}_1$ را از قسمتی از برش که داخل ابرمستطیل است، انتخاب می‌کنیم. در حالت چند متغیره، وضعیت فعلی \tilde{x} به صورت سه گام زیر به وضعیت جدید \tilde{x}_1 تبدیل می‌شود.

گام ۱) مقدار حقیقی y را به طور یکنواخت از بازه‌ی $(f(\tilde{x}), f(\tilde{x}_1))$ انتخاب می‌نماییم. به موجب این انتخاب برش

از تبدیل زیر، \tilde{x} را که دارای توزیع $N_n(\mu, \Sigma)$ است به دست می‌آوریم [۸].

$$\tilde{x} = T^t z + \mu.$$

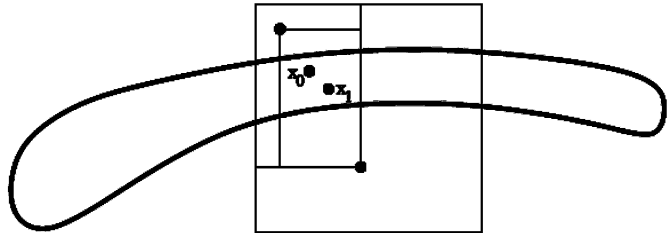
در این تبدیل T یک ماتریس $n \times n$ است به طوری که $T^t T = \Sigma$ در این مثال با استفاده از سه روش تجزیه چولسکی، نمونه‌گیری گیبس و نمونه‌گیری برشی نمونه‌هایی به حجم ۵۰۰۰ از توزیع $(\begin{pmatrix} 1 & \rho \\ \rho & 1 \end{pmatrix}, \begin{pmatrix} 1 & 0 & 0 \\ 0 & 1 & 0 \\ 0 & 0 & N_2 \end{pmatrix})$ به ازای $\rho = 0.99$ را تولید نموده‌ایم. برای آزمودن این که آیا داده‌ها از توزیع نرمال دومتغیره تولید شده‌اند یا نه، از آزمون نرمال چند متغیره شاپیرو-ویلک [۱۵] استفاده کرده‌ایم. از آن جا که فرض صفر در این آزمون بیان‌گر نرمال بودن داده‌هاست و با توجه به p -مقدار این آزمون برای هر سه روش در جدول ۲، فرض صفر در هر سه روش در سطح ۵٪ رد نمی‌شود و می‌توان پذیرفت که داده‌ها از توزیع نرمال دو متغیره هستند.

جدول ۲. p -مقدار آزمون شاپیرو-ویلک در هر سه روش.			
نمونه‌گیری برشی	نمونه‌گیری گیبس	تجزیه‌ی چولسکی	p -مقدار
۰/۲۸۷۱	۰/۴۱۷۸	۰/۳۱۴۸	۰/۵۰۵۰

مقادیر برآورد نمونه‌ای ضریب همبستگی و انحراف معیار برآورد در هر سه روش در جدول ۳ آمده است. در هر سه روش مقادیر برآوردشده برای ρ به مقدار واقعی آن نزدیک می‌باشد اما خطای برآورد در روش نمونه‌گیری برشی نسبت به دو روش دیگر تا حدودی کمتر می‌باشد و بنابراین نمونه‌گیری برشی را می‌توان به عنوان یکی از روش‌های تولید نمونه از توزیع نرمال n متغیره به کار برد.

جدول ۳. برآورد ρ و انحراف معیار برآورد در هر سه روش.

نمونه‌گیری برشی	نمونه‌گیری گیبس	تجزیه‌ی چولسکی	نمونه‌گیری چولسکی
۰/۹۸۴۶	۰/۹۸۷۹	۰/۹۸۸۰	۰/۹۸۸۰



شکل ۶. نمایش نمونه‌گیری برشی دو متغیره.

براساس گام‌های فوق، الگوریتم نمونه‌گیری برشی چندمتغیره که \tilde{x} را به x تبدیل می‌کند را به صورت زیر می‌نویسیم.

الگوریتم

با بردارهای اولیه $\{x_{0,1}, x_{0,2}, \dots, x_{0,n}\} = \tilde{x}_0$ و $\tilde{w} = \{w_1, w_2, \dots, w_n\}$ شروع می‌نماییم.

۱. مقدار حقیقی u را از توزیع یکنواخت بر بازه $(0, f(\tilde{x}_0))$ انتخاب می‌نماییم.

۲. به ازای $i = 1, \dots, n$ ، مقدار U_i را از توزیع یکنواخت بر بازه $(0, 1)$ انتخاب می‌نماییم و قرار می‌دهیم $R_i = L_i + w_i$ و $L_i = x_{0,i} - w_i U_i$.

۳. به ازای $i = 1, \dots, n$ ، مقدار V_i را از توزیع یکنواخت بر بازه $(0, 1)$ انتخاب می‌نماییم و قرار می‌دهیم $x_{1,i} = L_i + V_i(R_i - L_i)$.

۴. اگر $f(\tilde{x}_1) < y$ ، \tilde{x}_1 را می‌پذیریم و در غیر این صورت به ازای $i = 1, \dots, n$ ، اگر $x_{0,i} < x_{1,i}$ آن‌گاه قرار می‌دهیم $R_i = x_{1,i}$ و در غیر این صورت قرار می‌دهیم $R_i = x_{0,i}$.

مثال ۳. فرض کنید \tilde{x} دارای توزیع نرمال n متغیره با بردار میانگین μ و ماتریس واریانس-کواریانس σ باشد. برای نمونه‌گیری از توزیع نرمال n متغیره روش‌های مختلفی ارایه شده است. یکی از این روش‌ها استفاده از تجزیه‌ی چولسکی (Cholesky Decomposition) است. در این روش ابتدا بردار n بعدی $(z_1, z_2, \dots, z_n) = z$ با عناصر از هم مستقل و دارای توزیع نرمال استاندارد را تولید می‌نماییم و سپس با استفاده

گاور و همکاران [۶] برای نرخ خرابی پمپ‌های هسته‌ای مدلی را ارایه نمودند. فرض کنید x_i تعداد خرابی‌های پمپ i ام در مدت زمان $[t_i, t_i + \Delta t]$ باشد به طوری که t_i (بر حسب ساعت) معلوم است و $r_i = \frac{x_i}{\Delta t}$ نرخ خرابی نمونه‌ای است. داده‌های گزارش شده برای ده پمپ در جدول ۴ آمده است [۱۸].

جدول ۴: مقادیر نمونه‌ای برای ده پمپ.		
مدت زمان	تعداد خرابی	شماره پمپ
۱	۵	۹۴/۳۲۰
۲	۱	۱۰۵/۷۲۰
۳	۵	۶۲/۸۶۰
۴	۱۴	۱۲۵/۷۶۰
۵	۳	۵/۲۴۰
۶	۱۹	۳۱/۴۴۰
۷	۱	۱/۰۴۸
۸	۱	۱/۰۴۸
۹	۴	۲/۰۹۶
۱۰	۲۲	۱۰/۴۸۰

برای بدست آوردن برآورد بیز نرخ خرابی پمپ‌ها (λ_i) بر اساس مدل بیزی فرض می‌کنیم $X_i | \lambda_i$ دارای توزیع پوآسن با پارامتر $\lambda_i t_i$ و $\lambda_i | \beta$ دارای توزیع گاما با پارامترهای α و β است و α, δ, γ نیز دارای توزیع گاما با پارامترهای γ و δ است، و α, δ, γ معلوم هستند.

در این صورتتابع درستنمایی عبارت است از

$$L(\{\lambda_i\}) = \prod_{i=1}^{10} \frac{e^{-\lambda_i t_i} (\lambda_i t_i)^{x_i}}{x_i!} \propto \prod_{i=1}^{10} e^{-\lambda_i t_i} \lambda_i^{x_i}$$

و چگالی پیشین توان پارامترها برابر است با

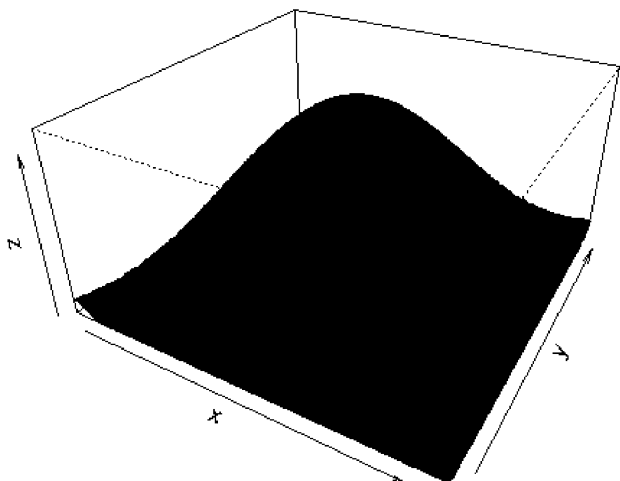
$$g_{\{\lambda_i\}, \beta}(\{\lambda_i\}, \beta) = \frac{e^{-\delta \beta} \beta^{\gamma - 1} \delta^\gamma}{\Gamma(\gamma)} \prod_{i=1}^{10} \frac{e^{-\beta \lambda_i} \beta^\alpha \lambda_i^{\alpha - 1}}{\Gamma(\alpha)}$$

توزیع پسین بر اساس قاعده بیز عبارت است از

$$\pi_{\{\lambda_i\}, \beta}(\{\lambda_i\}, \beta) \propto L(\{\lambda_i\}) g_{\{\lambda_i\}, \beta}(\{\lambda_i\}, \beta).$$

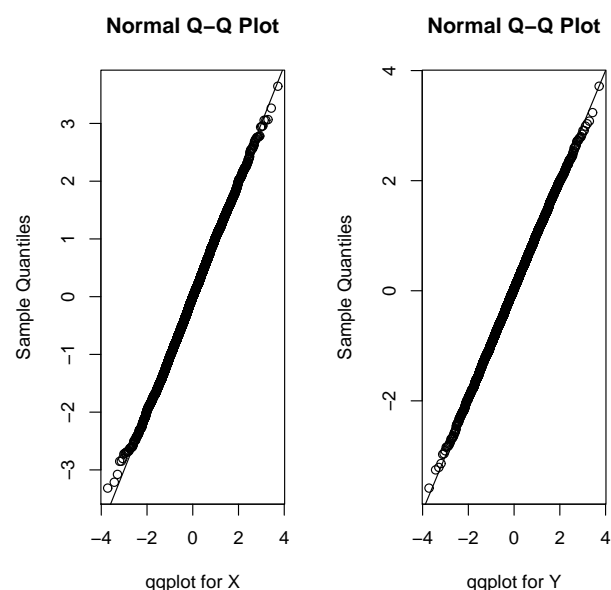
توزیع شرطی کامل $(\beta | \lambda_1, \lambda_2, \dots, \lambda_{10})$ گاما با پارامترهای $\alpha + \sum_{i=1}^{10} \lambda_i$ و $\gamma + \sum_{i=1}^{10} x_i$ است و توزیع شرطی کامل $\lambda_j | (\beta, \{\lambda_i\}_{i \neq j})$ نیز گاما با پارامترهای $\alpha + x_j$ و $\beta + t_j$ است.

شکل زیر نمودار داده‌های شبیه‌سازی شده از توزیع نرمال دو متغیره را با استفاده از نمونه‌گیری برشی دو متغیره نمایش می‌نماید.



شکل ۷. نمودار داده‌های شبیه‌سازی شده از توزیع نرمال دو متغیره.

از آن جا که در توزیع نرمال چندمتغیره چگالی‌های حاشیه‌ای دارای توزیع نرمال هستند، شکل ۸ نیز نمودار احتمال نرمال را برای توزیع‌های حاشیه‌ای اعداد شبیه‌سازی شده نمایش می‌دهد که برای توزیع نرمال بسیار مناسب به نظر می‌آید.



شکل ۸. نمودار احتمال نرمال داده‌های شبیه‌سازی شده برای مولفه‌های توزیع نرمال دو متغیره.

است، مقادیر زیر برای سه پارامتر تعیین می‌شوند

$$\alpha = 0/54, \gamma = 2/2, \delta = 1/11.$$

جدول ۵ مقادیر برآوردهای نرخ خرابی برای نرخ خرابی ده پمپ را با استفاده از نمونه‌های شبیه‌سازی شده در دو روش نمونه‌گیری گیبس و نمونه‌گیری برشی به همراه مقادیر $\pi_{\lambda_j|\beta}$ نمونه‌ای نشان می‌دهد. همان‌طور که مشاهده می‌شود مقادیر برآورد شده در روش نمونه‌گیری برشی به مقادیر نمونه‌ای نزدیک‌تر هستند.

جدول ۵، برآوردهای نرخ خرابی برای ده پمپ.

شماره	مقادیر نمونه‌ای پمپ	برآوردهای نمونه‌ای	برآوردهای روش گیبس	برآوردهای روش برشی
۱	۰/۰۵۳	۰/۰۵۸	۰/۰۵۸	۰/۰۵۸
۲	۰/۰۶۳	۰/۰۹۲	۰/۰۹۱	۰/۰۹۱
۳	۰/۰۷۹	۰/۰۸۶	۰/۰۸۶	۰/۰۸۶
۴	۰/۱۱۱	۰/۱۱۴	۰/۱۱۴	۰/۱۱۴
۵	۰/۰۷۲۳	۰/۰۵۶	۰/۰۵۷۲	۰/۰۵۷۲
۶	۰/۰۶۰۴	۰/۰۶۰۲	۰/۰۶۰۴	۰/۰۶۰۴
۷	۰/۰۹۵۴	۰/۰۷۶۴	۰/۰۸۳۱	۰/۰۸۳۱
۸	۰/۰۹۵۴	۰/۰۷۶۴	۰/۰۸۳۱	۰/۰۸۳۱
۹	۱/۰۰۸	۱/۰۴۷۰	۱/۰۵۵۴	۱/۰۵۵۴
۱۰	۲/۰۹۹	۱/۰۹۵۸	۱/۰۹۸۳	۱/۰۹۸۳

مطابق جدول ۵، مقادیر برآوردهای نرخ خرابی برای نرخ خرابی‌ها در نمونه‌گیری برشی نسبت به روش گیبس به مقادیر نمونه‌ای نزدیک‌تر هستند.

جدول ۶، انحراف معیار برآوردهای نرخ خرابی برای ده پمپ در دو روش.

شماره	انحراف معیار برآوردهای در دو روش	انحراف معیار برآوردهای در روش گیبس	انحراف معیار برآوردهای در روش برشی
۱	$6/028 \times 10^{-7}$	$4/956 \times 10^{-8}$	$4/956 \times 10^{-8}$
۲	$3/682 \times 10^{-5}$	$3/984 \times 10^{-6}$	$3/984 \times 10^{-6}$
۳	$2/887 \times 10^{-6}$	$2/452 \times 10^{-7}$	$2/452 \times 10^{-7}$
۴	$1/352 \times 10^{-6}$	$1/093 \times 10^{-7}$	$1/093 \times 10^{-7}$
۵	$7/641 \times 10^{-2}$	$1/071 \times 10^{-3}$	$1/071 \times 10^{-3}$
۶	$4/911 \times 10^{-4}$	$4/563 \times 10^{-5}$	$4/563 \times 10^{-5}$
۷	$5/971 \times 10^{-2}$	$1/987 \times 10^{-2}$	$1/987 \times 10^{-2}$
۸	$5/971 \times 10^{-2}$	$1/987 \times 10^{-2}$	$1/987 \times 10^{-2}$
۹	$1/211 \times 10^{-1}$	$2/995 \times 10^{-2}$	$2/995 \times 10^{-2}$
۱۰	$3/114 \times 10^{-2}$	$3/817 \times 10^{-3}$	$3/817 \times 10^{-3}$

همان‌طور که در جدول ۶ مشاهده می‌شود مقادیر انحراف معیار برآوردهای برشی بیشتر برای تمام نرخ خرابی در روش نمونه‌گیری برشی

با استفاده از توزیع‌های بالا، برآورد بیز زامین نرخ خرابی عبارت است از

$$\hat{\lambda}_j = E_{\pi_\beta}(E_{\pi_{\lambda_j|\beta}}[\lambda_j]) = E_{\pi_\beta}\left(\frac{\alpha + x_j}{\beta + t_j}\right)$$

که π_β چگالی حاشیه‌ای پسین برای β است. رابرт و کسلان [۱۲] و گلوفاند و اسمیت [۷] برای مقادیر α, γ در شبیه‌سازی‌ها از بیز تجربی استفاده نموده‌اند. در این مثال با استفاده از امید ریاضی و واریانس پیشین نرخ خرابی‌ها مقادیر بهینه‌ای برای این پارامترها به صورت زیر بدست آمده است.

به ازای $\gamma > 1$ داریم

$$\begin{aligned} E_{g_{\{\lambda_i\},\beta}}(\lambda_j) &= E_{g_\beta}(E_{g_{\lambda_j|\beta}}[\lambda_j]) = E_{g_\beta}\left(\frac{\alpha}{\beta}\right) \\ &= \int_0^\infty \frac{\alpha e^{-\delta\beta} \beta^{\gamma-1} \delta^\gamma}{\Gamma(\gamma)} d\beta \\ &= \frac{\alpha \delta \Gamma(\gamma-1)}{\Gamma(\gamma)} = \frac{\alpha \delta}{\gamma-1} \end{aligned}$$

و به ازای $j = 1, 2, \dots, 10$ و $\gamma > 2$ داریم

$$\begin{aligned} Var_{g_{\{\lambda_i\},\beta}}(\lambda_j) &= E_{g_\beta}(Var_{g_{\lambda_j|\beta}}[\lambda_j]) \\ &\quad + Var_{g_\beta}(E_{g_{\lambda_j|\beta}}[\lambda_j]) \\ &= E_{g_\beta}\left(\frac{\alpha}{\beta^2}\right) + Var_{g_\beta}\left(\frac{\alpha}{\beta}\right) \\ &= E_{g_\beta}\left(\frac{\alpha}{\beta^2}\right) + E_{g_\beta}\left(\frac{\alpha^2}{\beta^2}\right) - [E_{g_\beta}\left(\frac{\alpha}{\beta}\right)]^2 \\ &= \alpha(1+\alpha) \int_0^\infty \frac{e^{-\delta\beta} \beta^{\gamma-1} \delta^\gamma}{\beta^2 \Gamma(\gamma)} d\beta \\ &\quad - \left(\frac{\alpha \delta}{\gamma-1}\right)^2 \\ &= \frac{\alpha(1+\alpha)\delta^2}{(\gamma-1)(\gamma-2)} - \left(\frac{\alpha \delta}{\gamma-1}\right)^2 \\ &= \frac{\alpha \delta^2 (\alpha + \gamma - 1)}{(\gamma-1)^2 (\gamma-2)}. \end{aligned}$$

از آن جا که با توجه به تجربیات گذشته [۱۳] معتقدیم که امید ریاضی و انحراف استاندارد هر نرخ خرابی به ترتیب برابر $0/5$ و 2 است و احتمال آن که نرخ خرابی از ۵ تجاوز کند برابر $1/0$

استفاده و کاربرد می‌باشد. این روش برپایه‌ی اصول $MCMC$ استوار است و از برخی محدودیت‌های دیگر روش‌های $MCMC$ برخوردار نمی‌باشد. با استفاده از این روش می‌توان داده‌های واقعی را نیز مورد تحلیل و بررسی قرار داد.

نسبت به روش نمونه‌گیری گیبس کمتر می‌باشد و این دلیلی دیگر برای بهتر بودن نمونه‌گیری برشی نسبت به روش نمونه‌گیری گیبس در این حالت است.

۵ نتیجه‌گیری

در این مقاله روشی برای نمونه‌گیری از یکتابع چگالی تشریح شد که برای اکثر توزیع‌های تک متغیره و چند متغیره قابل

مراجع

- [1] Besag J., Green P. L., Spatial statistics and Bayesian computation with discussion, *J. Roy. Stat. Soc., Ser.B*, 55, 25-38, 1995.
- [2] Conover W. J., *Practical Nonparametric Statistics*, New York: John Wiley and Sons, 1971.
- [3] Damien P., Wakefield J. C., Walker S. G., Gibbs sampling for Bayesian nonconjugate and hierarchical models by using auxiliary variables, *J. Roy. Stat. Soc. Ser.B*, 61, 331-344, 1999.
- [4] Damien P., Walker S., Sampling probability densities via uniform variables and a Gibbs sampler, *Tech. Report, Business School, University of Michigan*, 1996.
- [5] Frey, B. J., Continuouse sigmoidal belief networks trained using slice sampling, In: *Advances in Neural Information Processing Systems*, MIT Press, Cambridge, 1997.
- [6] Gaver, D. P., O'Muircheartaigh, I. G., Robust empirical Bayes analyses of event rates, *Technometrics*, 29, 1-15, 1987.
- [7] Gelfand, A. E., Smith, A. F. M., Sampling-based approaches to calculating marginal densities, *Journal of the American Statistical Association*, 85, 398-409, 1990.
- [8] Gentle, J. E., *Random Number Generation and Monte Carlo Methods*, Sec. Ed., Springer, 2005.
- [9] Higdon D. M., Auxiliary variable methods for Markov Chain Monte Carlo with applications, *Discussion Paper, ISDS, Duke University*, 1996.

- [10] Neal R. N., Markov Chain Monte Carlo Methods based on Slicing the density function, Tech. Report, University of Toronto, 1997.
- [11] Neal R. N., Slice sampling, *Annals of Statistics*, 31(3), 705-767, 2003.
- [12] Robert, C. P., Casella, G., *Monte Carlo Statistical Methods*, Springer-Verlag, New York, 1999.
- [13] Robert, C. P., Casella, G., *Monte Carlo Statistical Methods*, 2nd edn, Springer-Verlag, New York: 2004.
- [14] Robert, G. O., Rosenthal, J. S., Markov Chain Monte Carlo: Some practical implications of theoretical result (with discution), *Can. J. Stat.*, 26, 5-32, 1998.
- [15] Royston, P., An extension of Shapiro and Wilk's W test for normality to large samples. *Applied Statistics*, 31, 115-124, 1982.
- [16] Tierney L., Mira A., Some adaptive Monte Carlo methods for Bayesian inference, *Statistics in Medicine*, 18, 2507-2525, 1998.
- [17] Wakefield J. C., Gelfand A. E., Smith A. F. M., Efficient generation of random variates via the ratio-of-uniforms methods, *Statistics and Computing* 1, 129-133, 1991.
- [18] Dagpunar, J. S., *Simulation and Monte Carlo: With Applications in Finance and MCMC*, John Wiley and Sons, 2007.